

東京都立大学 正員 ○ 越川 広雄
正員 中村 麻治

1. まえがき

三軸圧縮試験によって得られる粘着力(C)は $C = C' \tan \phi$ ($\phi = \phi'$: 繰り返し荷重, 中: 内部摩擦角)であらわすことができる。まだ固まらないコンクリートの粘着力と强度は、この式で表される。すなわち、流動体のせん断応力(T)が粘着力(C)をこえると連続体としての流動が生じる。不連続となるのである。したがって、粘着力(C)は必ず限界を示すのである。したがって、まだ固まらないコンクリートの流動は、 $T < C$ の範囲でレオロジーの対象にされるのである。粘着力(C)は、 T が一定であることを意味する。そこで粘着力(C)を定めるためには各種の試験法があるが、三軸圧縮試験は境界条件が明確で最もすぐれている。しかし、まだ固まらないコンクリートの三軸圧縮試験方法について十分検討した例はない。本文は三軸圧縮試験方法を確立するために、試験装置、試験方法につき詳細に検討し、かつスランプおよび水セメント比(%)と粘着力(C)および内部摩擦角(ϕ)との関係、試験値の変動係数(V)等の結果述べるものである。

2. 試験方法

図-1に示す三軸圧縮試験機を用い、圧密排水試験(ひずみ制御法)により、ひずみ速度 $1\%/\text{min}$ として試験した。供試体寸法は $10 \times 20 \text{ cm}$ である。

(1) 試験装置の検討

(2) ゴムスリーブ

試料を包むゴムスリーブは厚さ 0.75 mm とした。すなわち図-2に示す厚さ 0.5 mm および 0.75 mm のゴムスリーブの引張試験結果である。たとえば供試体の最終までひずみ 15% の場合、横方向変形は全長にわたって、ほぼ一様と認められるので、体積変化より横ひずみ 8% となる。これを用いてゴムスリーブの拘束力(F)を求めると、それが 15.5 および 17.6 kg/cm^2 となり、いずれの場合においても三軸圧縮試験結果に与えよう。

(3) 供試体支持用ゴム環円板

供試体正面直角方向に自立させる目的で図-1に示すゴム環円板を装着した。なおゴム環円板を装着しないものの試験結果は図-3および図-4の様でゴム環円板を用いないと供試体が累積変形をおこし、降伏応力が明確に認められなくなるなど種々の支障を生ずるので供試体支持用ゴム環円板は必ず装着しなければならない。

(4) 載荷板

載荷面は供試体側に直角にセットマセラニガキを用いて固定である。このため載荷板底面と供試体端面間に空隙を残すための空気抜きルブを装着した。まだ硬化前のコンクリートはきわめて変形しやす

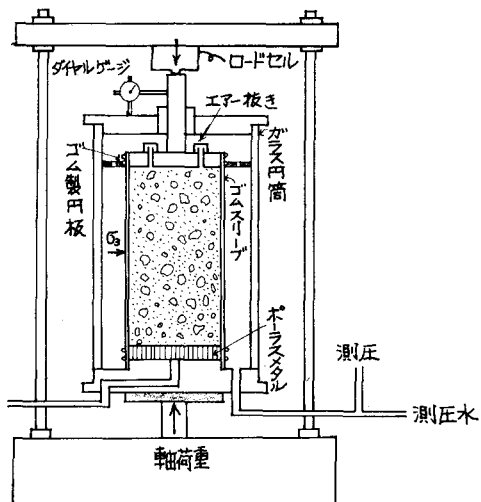


図-1 三軸圧縮試験機

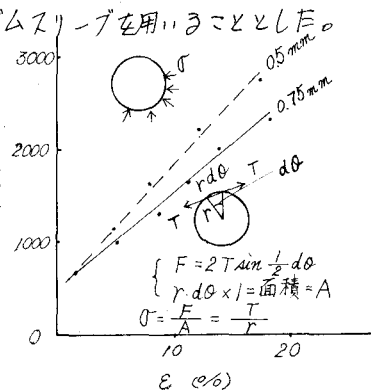


図-2 ゴムスリーブ試験結果

ので、載荷面を供試体軸に直角に保つために球座を使用することは適当でない。

(2) 試験方法の検討 ②ひずみ速度
ひずみ制御法に於ける側圧縮試験を行なう場合、適当なひずみ速度とすることが望ましい。そこで用いた試験機の能力より、 $1\%/\text{min}$ および $0.5\%/\text{min}$ 。

について、試験した結果が図-5である。図-5は異常変形下伏図-6に示す通りである。すなわち粘着力(C)および内部摩擦角(ϕ)は、ひずみ速度 $1\%/\text{min}$ の時、 170kg/cm^2 および 13° 、 $0.5\%/\text{min}$ の時、 190kg/cm^2 および 11° となり両者の試験値に差異は認められぬ。以上のことよりひずみ速度を $1\%/\text{min}$ として試験を行なうこととした。

③ 側圧の選定

粘着力(C)はモールの包絡線より求めるのであるから粘着力(C)の小さなコンクリートに対して側圧をあまり大きくとることは適当でないし側圧をあまり小さくとると試験誤差が大きくなりやすい。実験の一例を図-7に示す。これららの結果からスランプ 8cm 以上の場合 $0.2 \sim 1.0\text{kg/cm}^2$ 、またスランプ 8cm 以下の場合 $1 \sim 5\text{kg/cm}^2$ 程度とするのが良い。

(4) 粘着力(C)および内部摩擦角(ϕ)の決定について
側圧縮試験により図-8に示すデータ曲線が得られる。すなわち垂直応力が降伏応力を下までは載荷レ

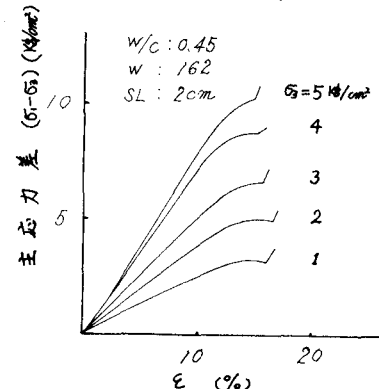


図-8 応力-ひずみ曲線

立ちのである。そこで降伏応力を用い図-9に示すモールの包絡曲線より粘着力(C)および内部摩擦角(ϕ)を求めた。

3 試験結果

(1) スランプと粘着力(C)および内部摩擦角(ϕ)の関係について

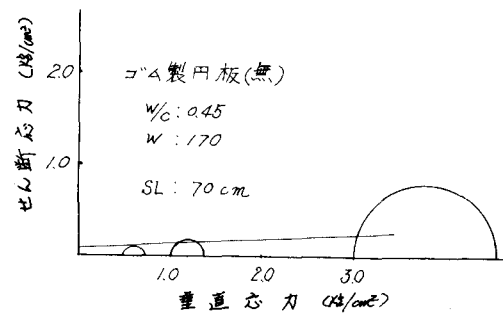
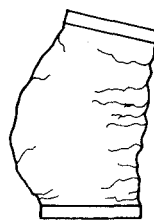


図-4 試験装置の検討

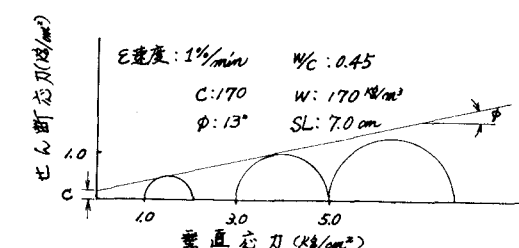


図-5 ひずみ速度の選定

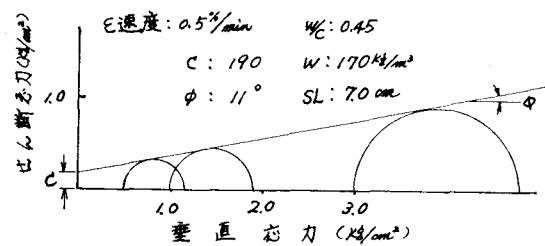


図-6 ひずみ速度の選定

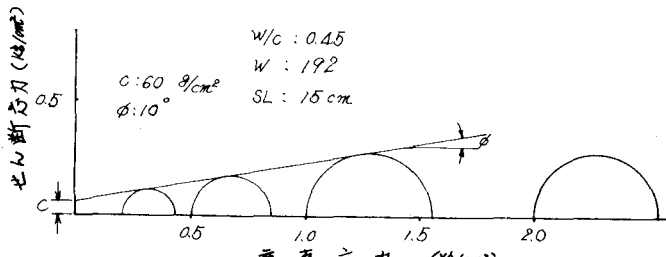


図-7 側圧の選定

実験に用いた試料は、水セメント比を一定とし単位水量を変化させ、スランプを2~20cmとし、最大骨材寸法を25mmとした。表-1 および図-10に配合および試験結果を示す。

表-1に示すように粘着力(C)は単位水量の変化に伴い、 $480 \sim 60 \text{ kg/cm}^2$ となる。また、単位水量の変化が粘着力(C)に与える影響はさうまで大きく、これらの変化は連続曲線となる。これらは流动角のせん断強度を示すものである。スランプが大きいほど、分り傾向が著しくなることを示している。図-10にスランプ中の関係も示す。

(2) 水セメント比(%)と粘着力(C)および内部摩擦角(ϕ)の関係について。

実験に用いた試料はスランプを一定とし、 $w/c = 0.45$ および 0.6 とした。配合および試験結果を表-2に示す。この結果によれば、 $w/c = 0.45$ および 0.6 の粘着力(C)および内部摩擦角(ϕ)は水セメント比20, 200%では $10^\circ, 12^\circ$ となる。また w/c の変化による強度増加の変化は認められず。 w/c によって、せん断強度が変化しないことは硬化コレクリートの場合と著しく相違する点である。

(3) 試験値の変動係数(V)について。

水セメント比を0.45 およびスランプを約7cm として試料について、計4回の三軸圧縮試験を行ない、これらの試験値より変動係数(V)を求めた。この結果によれば粘着力(C)および内部摩擦角(ϕ)の変動係数(V)はそれほど多くない。すなわち 18.3% となっており、スランプ値の変動係数($V=10\%$)の約8倍となっている。

本研究は、本学村田二郎教授の御指導のもとに行なったものであり、また実験に際し、大学院生下山善秀君の御協力を受けた。以下、ニコト記して謝意を表す次第である。

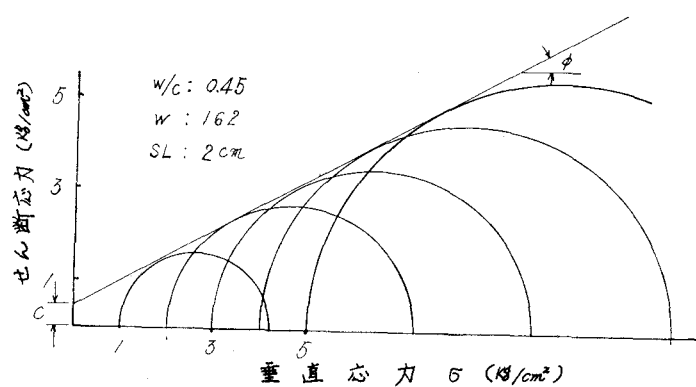


図-9 モールの応力円と包絡線

表-1 $SL \times C, \phi$

w/c (%)	W (kg/m³)	SL (cm)	C (kg/cm²)	ϕ (°)
45.0	162	2	480	29
	170	7	170	13
	184	10	140	4
	192	15	60	10
	204	20	60	6

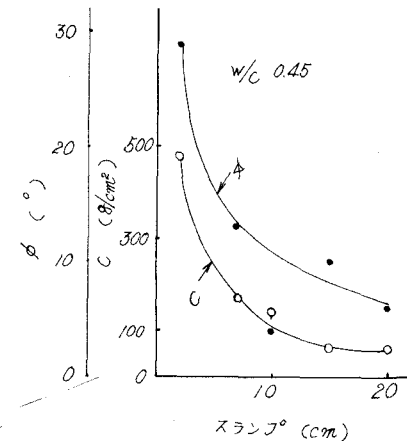


図-10 $SL \times C, \phi$ について

表-2 $w/c \times C, \phi$

w/c (%)	W (kg/m³)	SL (cm)	C (kg/cm²)	ϕ (°)
45	170	7.0	220	10
60	170	7.0	200	12

表-3 C, ϕ の変動係数

配合	C (kg/cm²)	V (%)	ϕ (°)	V (%)	SL (cm)	V (%)
$w/c: 0.45$	220		10		6.5	
$w/c: 0.4$	170	20.0	15	18.3	6.3	
$w: 170$ kg/m^3	140		13		7.8	
	210		11		7.1	